

实时操作系统 $\mu\text{C}/\text{OS-II}$ 在 LPC2114 上的移植

廖文良, 褚艺斌, 陈文芑
(厦门大学 机电工程系, 福建 厦门 361005)

摘要: 介绍了实时操作系统 $\mu\text{C}/\text{OS-II}$ 的特点和内核结构, 并实现了 $\mu\text{C}/\text{OS-II}$ 在 Philips 嵌入式处理器 LPC2114 上的移植。

关键词: $\mu\text{C}/\text{OS-II}$ LPC2114 移植

作为一个实时内核, $\mu\text{C}/\text{OS}$ 从 1992 年开始为人们熟悉, 到现在已经发展为 $\mu\text{C}/\text{OS-II}$ 。 $\mu\text{C}/\text{OS-II}$ 最多支持 56 个任务, 其内核为占先式, 即总是执行就绪态的优先级最高的任务, 并支持 Semaphore(信号量)、Mailbox(邮箱)、Message Queue(消息队列)等多种常用的进程间通信机制。与大多数商用 RTOS 不同的是, $\mu\text{C}/\text{OS-II}$ 公开其全部源代码, 并可以免费获得, 对商业应用只收取少量的 License 费用。

LPC2114 是 Philips 公司开发的一款支持实时仿真和跟踪的 ARM7TDMI-S CPU, 并嵌入了 128KB 的高速 Flash 存储器。其内部集成了与片内存储器控制器接口的 ARM7 局部总线、与中断控制器接口的 AMBA 高性能总线(AHB)和连接片内外设功能的 VLSI 外设总线(VPB, ARM AMBA 总线的兼容超集)。LPC2114 将 ARM7TDMI-S 配置为小端(little-endian)字节顺序。128 位宽度的存储器接口和独特的加速结构使 32 位代码能够在最大时钟频率下运行。

将 $\mu\text{C}/\text{OS-II}$ 移植在 LPC2119 上不仅有益于 ARM 和 $\mu\text{C}/\text{OS-II}$ 在车用控制器上的应用, 其成果还可以用于其他嵌入式工业控制领域。本次移植中, 使用 CodeWarrior For ARM Developer Suite v1.2 编译调试环境。

1 $\mu\text{C}/\text{OS-II}$ 系统结构

图 1 为 $\mu\text{C}/\text{OS-II}$ 的软硬件体系结构。应用程序处于整个系统的顶层, 每个任务都可以认为自己独占了 CPU, 因而可以设计成为一个无限循环。 $\mu\text{C}/\text{OS-II}$ 处理器无关的代码提供了 $\mu\text{C}/\text{OS-II}$ 的系统服务, 应用程序可以使用这些 API 函数进行内存管理、任务间通信以及创建、删除任务等。

大部分 $\mu\text{C}/\text{OS-II}$ 代码是使用 ANSI C 语言编写的, 因此 $\mu\text{C}/\text{OS-II}$ 的可移植性较好。尽管如此, 仍然需要使用 C 和汇编语言写一些处理器相关的代码。 $\mu\text{C}/\text{OS-II}$ 的移植需要满足下列要求: (1)处理器的 C 编译器可以产生可重入代码。(2)可以使用 C 调用进入和退出 Critical Code(临界区代码)。(3)处理器必须支持硬件中断, 并且需要一个定时中断源。(4)处理器需要能够容纳一定数据的硬件堆栈。(5)处理器

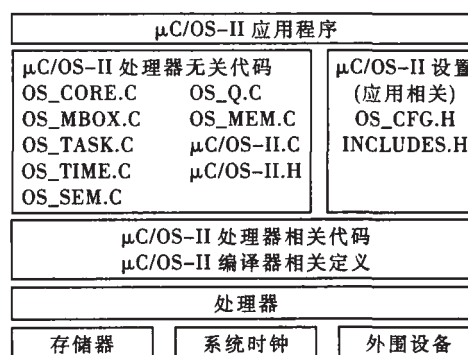


图 1 $\mu\text{C}/\text{OS-II}$ 的软硬件体系结构

需要有能够在 CPU 寄存器与内存和堆栈交换数据的指令。

移植 $\mu\text{C}/\text{OS-II}$ 的主要工作涉及处理器及编译器相关代码以及 BSP 的编写。

2 $\mu\text{C}/\text{OS-II}$ BSP 的编写

BSP(板级支持包)是介于底层硬件和操作系统之间的软件层次, 它完成系统上电后最初的硬件和软件初始化, 并对底层硬件进行封装, 使得操作系统不再面对具体的硬件。

为 $\mu\text{C}/\text{OS-II}$ 编写一个简单的 BSP 的方法是: 首先设置 CPU 内部寄存器和系统堆栈, 并初始化堆栈指针, 建立程序的运行和调用环境; 然后使用 C 语言设置 LPC2114 向量中断控制器、GPIO 以及 SRAM 控制器, 初始化串口(UART0)作为默认打印口, 并向操作系统提供一些硬件相关例程和函数(如 dprintf()), 以方便调试; 在 CPU、板级和程序自身初始化完成后, 就可以把 CPU 的控制权交给操作系统了。

LPC2114 处理器支持七种类型的异常。异常出现后, CPU 强制从异常类型对应的固定存储地址开始执行程序, 因此需要在程序头建立起异常向量表, 例如:

Vectors

LDR	PC, ResetAddr
LDR	PC, UndefinedAddr
LDR	PC, SWI_Addr
LDR	PC, PrefetchAddr

```

LDR    PC, DataAbortAddr
DCD    0xb9205f80
LDR    PC, [PC, #- 0xff0]
LDR    PC, FIQ_Addr

ResetAddr    DCD    Reset
UndefinedAddr DCD    Undefined
SWI_Addr     DCD    SoftwareInterrupt
PrefetchAddr DCD    PrefetchAbort
DataAbortAddr DCD    DataAbort
NoUse        DCD    0
IRQ_Addr     DCD    IRQ_Handler
FIQ_Addr     DCD    FIQ_Handler
    
```

向量从上到下依次为复位、未定义指令异常、软件中断、预取指令中止、预取数据中止、保留的异常、IRQ和FIQ。保留的异常向量位置所填的数据 0xb9205f80 是为了使向量表中所有的数据 32 位累加和为 0。这个向量在 ARM 文件中标识为保留, 该位置被 Boot 装载程序用作有效的用户程序关键字。当向量表中所有的数据累加为 0(且外部硬件禁止进入 ISP 程序)时, Boot 装载程序将执行用户程序。

从异常向量表可知: 芯片复位时程序会跳转到标号 Reset 处。程序首先调用 InitStack 初始化各种模式的堆栈, 然后调用 TargetResetInit 对系统进行基本的初始化, 最后跳转到 ADS 提供的启动代码 __main。例如:

```

Reset
BL    InitStack
BL    TargetResetInit
B     __main
    
```

同时每个硬件时钟到来后, $\mu\text{C}/\text{OS-II}$ 会在中断服务例程中调用 OSIntCtxSw() 进行任务调度。另外, 当某个任务因等待资源而被挂起时, 它可以自己主动放弃 CPU, 而没有必要等到自己的时间片全都用完。这可以通过调用一个任务级的任务调度函数 OSCtxSw() 来实现, 其中相对复杂的是 OSIntCtxSw()。由于 OSIntExit() 调用了 OSIntExit(), OSIntExit() 又再次调用了 OSIntCtxSw(), 如果进行任务切换, 则二次调用都不会返回, 而不同的 C 编译器、不同的编译选项处理 C 调用时对堆栈的使用也不尽相同。因此 OSIntCtxSw() 是与编译器相关的。在 ADS 编译环境下, OSIntCtxSw 的软件流程如图 2 所示。

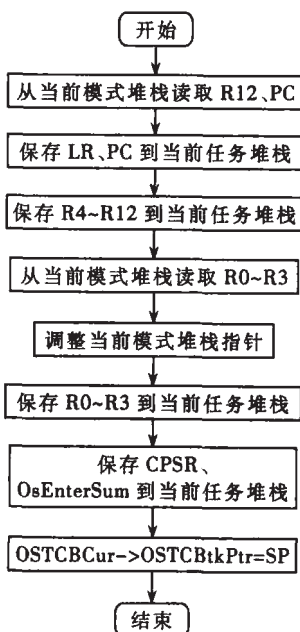


图 2 OSIntCtxSw 的软件流程图

3 $\mu\text{C}/\text{OS-II}$ 任务堆栈初始化

$\mu\text{C}/\text{OS-II}$ 中每个任务都有自己的任务堆栈。在任务创建初期由 OSTaskStkInit() 初始化。初始化堆栈的目的就是模拟一次中断。任务堆栈中保存了任务代码的起始地址和一些 CPU 寄存器(初值是无要紧要的), 这样一旦条件满足, 就可以执行任务了。LPC2114 在中断发生时, 会自动保存程序指针 PC、状态寄存器 SR 以及其他一些信息。图 3 为针对 LPC2114 编程结构设计堆栈结构。

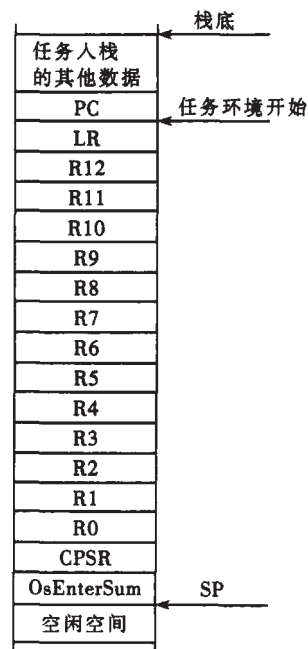


图 3 任务堆栈结构

本次移植的函数 OSTaskStkInit() 代码为:

```

OS_STK * OSTaskStkInit(void (* task)(void * pd), void * pdata,
OS_STK * ptos, INT16U opt)
{
    OS_Stk * stk;
    opt=opt; /* opt 没有使用。作用是避免编译器警告 */
    stk=ptos; /* 获取堆栈指针 */
    /* 建立任务环境, ADS1.2 使用满递减堆栈 */
    *stk=(OS_STK)task; /* pc */ /* -- stk=(OS_STK)task; /* lr */
    *--stk=0; /* r12 */
    *--stk=0; /* r11 */
    *--stk=0; /* r10 */
    *--stk=0; /* r9 */
    *--stk=0; /* r8 */
    *--stk=0; /* r7 */
    *--stk=0; /* r6 */
    *--stk=0; /* r5 */
    *--stk=0; /* r4 */
    *--stk=0; /* r3 */
    *--stk=0; /* r2 */
    *--stk=0; /* r1 */
    *--stk=(unsigned int)pdata; /* r0, 第一个参数使用 R0 递推 */
    *--stk=(USER_USING_MODE|0x00);
    /* spsr, 允许 IRQ、FIQ 中断 */
    *--stk=0; /* 关中断计数器 OsEnterSum */
    return(stk);
}
    
```

4 $\mu\text{C}/\text{OS-II}$ 系统时钟管理

$\mu\text{C}/\text{OS-II}$ 需要在系统初始化时开始一个系统时钟节拍, 它是 OS 系统的时间基准。该时钟节拍一般由时间中断

产生。LPC2114 中可产生时钟节拍的模块很多,本次移植采用定时器 0 异常。因为它与外部中断使用不同的异常向量,便于对异常事件的管理,有利于提高 OS 的稳定性。32 位定时器 TC 的计数频率由 plck 经过 PR 分频控制得到,而定时器的启动/停止、计数复位由 TCR 控制。当有捕获事件或比较匹配事件发生时,IR 会设置相关的中断标志,若已打开中断允许,则会产生中断。

本次移植设置系统时钟频率为 11.0592MHz,代码在时钟初始化和每次进入定时器 0 异常时,将定时器 0 的计数器 PWMTC 设置为 11.0592M/OS_TICKS_PER_SEC,这样可使 OS 每秒钟产生 OS_TICKS_PER_SEC 的时钟节拍。

5 应用方法

在使用移植后的 OS 时,用户需要编写自己的主程序 main(),其流程图如图 4。在适当的初始化后即可启动 OS。

另外,用户需在 TaskStart 任务中启动时钟节拍,调用

OS_StartInit()函数初始化统计任务,创建所需的其他任务,最后调用 OSTaskDel()函数删除 TaskStart 任务。OS 在该函数调用结束后,会自动允许异常和中断,OS 正常运转,不断调度任务,响应中断。

参考文献

- 1 LABROSSE J J. μ C/OS-II: the Real Time Kernel. RS: R&D Books, 1999
- 2 周立功. ARM 微控制器基础与实战. 北京: 北京航空航天大学出版社, 2003
- 3 Labrosse J 著, 邵贝贝译. 嵌入式实时操作系统 μ C/OS-II (第二版). 北京: 北京航空航天大学出版社, 2003

(收稿日期: 2005-02-20)

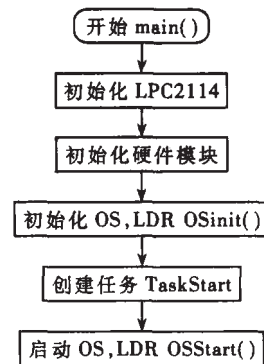


图 4 主程序流程图

(上接第 31 页)

的染色体作为解输出,若多个染色体的综合评价相等,则选择 $w/x_{i,0}$ 值最小的染色体。算法结束。

3 算法性能分析

网络拓扑模型如图 4 所示。应用本算法对其进行仿真实验。假设源节点为 A,目的节点为 H,链路特性用五元组 $(x_1, x_2, x_3, x_4, x_5)$ 描述,分别表示带宽、时延、成功率 $(=1 - \text{丢包率})$ 、成本和时延抖动。QoS 路由要求为:所需带宽 $b=2\text{bps}$,最大时延 $d=8\mu\text{s}$,时延抖动 $j=10\mu\text{s}$,成功率 80%,成本 10,综合评价 1。编码长度为 9 位,群体大小为 100,交叉概率为 0.5,采用自适应变异概率,由式(1)得出,初始群体随机产生。

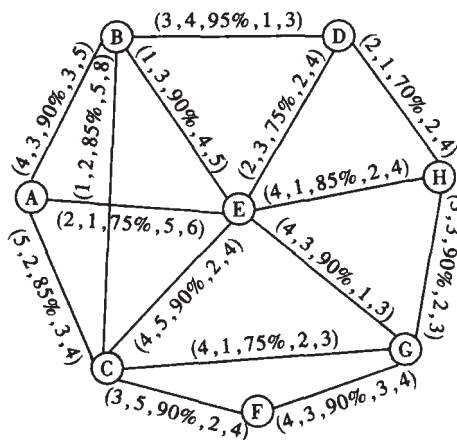


图 4 网络拓扑模型

仿真结果如表 2 所示。由表 2 可以看出,第 2、3 个解的综合评价最小,符合 QoS 要求且达到负载分布均衡,但第 3 个解的 $w/x_{i,0}$ 值最小,所以第 3 个解(路径 A-C-E-H)为最优解。

4 结论

本文在单点投递的情况下,利用改进的遗传算法求解《微型机与应用》2005 年第 8 期

表 2 仿真结果

序号	结果	路径	瓶颈带宽/bps	时延/ μs	平均成功率/%	平均成本	平均时延抖动/ μs	综合评价
1	11010000000	AEH	2	2	80	3.5	5	0.13
2	11010000011	AECGH	2	7	80	2.8	4	0.01
3	11001000001	ACEH	4	5	83	2.3	3.6	0.01
4	11001000001	ACGH	2	6	83	2.3	3.6	0.02

具有多个 QoS 约束的路由选择问题。该算法主要有以下特点:(1)采用预处理机制,有效地减少了算法编码空间和搜索空间,提高了算法的搜索效率。(2)特殊的树结构编码,使染色体长度达到固定,简化了编码操作,省略了复杂的编码和解码过程。(3)通过对交叉操作和变异操作的改进,使算法迅速跳出局部最优解,使算法向全局最优的方向发展,同时加快了算法收敛的速度。(4)采用的综合评价指标,能满足多个 QoS 要求且负载分布均衡。

参考文献

- 1 Wang Z, Crow C J. Quality-of-service for Routing Supporting Multimedia Applications. IEEE Journal of Selected Areas in Communications, 1996; 14(7)
- 2 欧阳森,宋政湘,王建华等.一种快速收敛的遗传算法.计算机应用研究,2003; 20(9)
- 3 栋朝雅晴,高井昌彰,佐藤羲治.一种适应负载分布均衡的路由遗传算法.信息处理学会论文志,1998; 39(2)
- 4 Xian G F, Zhou J, Jie Y W. QoS Routing Based on Genetic Algorithm. Computer Communications, 1999; 22(15)
- 5 Ravikumar C P, Bajpai R. Source-based Delay-bounded Multi-casting in Multimedia Networks. Computer Communications, 1998; 21(2)
- 6 何小燕,费翔,罗军舟等. Internet 中一种基于遗传算法的 QoS 路由选择策略. 计算机学报, 2000; 23(11)

(收稿日期: 2005-02-15)